

Подставляя (17) в (15), после исключения Q_3 получим

$$D_2 \frac{d^4 u_3}{dx_1^4} + \frac{d^2}{dx_1^2} (M_{03} \theta_1) = 0, \quad D_1 \frac{d^2 \theta_1}{dx_1^2} = M_{03} \frac{d^2 u_3}{dx_1^2}. \quad (18)$$

Уравнения (18) вместе с уравнениями начального состояния (16), определяющими момент $M_{03}(x_1)$, совпадают с известными уравнениями устойчивости плоской формы изгиба стержня с прямоугольным поперечным сечением при действии поперечной нагрузки неизменного направления. Таким образом, имеем, что в случае действия механической нагрузки неизменного направления и в случае следящей электромагнитной нагрузки рассматриваемого типа линейные уравнения устойчивости плоской формы изгиба являются идентичными. Уравнения устойчивости плоской формы изгиба в случае действия более общей следящей нагрузки приведены в работе [1].

Решение системы (18) приведем для случая консольного стержня [2]. Соотношение, определяющее критическое значение силы Ампера, для стержня с узким прямоугольным сечением имеет вид

$$(J_0 B_0)_* = \frac{1,51 b h^3 E}{L^3 \sqrt{1 + \nu}} \quad (b \gg h),$$

где b — высота; h — ширина прямоугольного сечения; L — длина стержня.

В частности, для медного стержня с параметрами $b = 2$ см, $h = 0,2$ см, $E = 1,2 \cdot 10^{11}$ Па, $\nu = 0,3$, $L = 60$ см при силе тока 60 А (плотность тока $1,5 \cdot 10^6$ А/м²) плоская форма изгиба токнесущего стержня является неустойчивой при значении индукции магнитного поля $B_0 \approx 1,96$ Т.

1. Болотин В. В. Неконсервативные задачи теории упругой устойчивости.—М.: Физматгиз, 1961.—339 с.
2. Вольмир А. С. Устойчивость деформируемых систем.—М.: Наука, 1967.—984 с.
3. Леонтович М. А., Шафранов В. Д. Об устойчивости гибкого провода в магнитном поле.—Физика плазмы и пробл. управляемых термоядерных реакций, 1958, вып. 1, с. 172—179.
4. Прудников В. В. Магнитоупругие волны в токопроводящем стержне, находящемся в цилиндрической трубе.—Механика твердого тела, 1972, № 5, с. 123—129.
5. Светлицкий В. А. Механика гибких стержней и нитей.—М.: Машиностроение, 1978.—222 с.
6. Тимошенко С. П. Устойчивость стержней, пластин и оболочек.—М.: Наука, 1971.—808 с.
7. Chattopadhyay S., Moon F. Magnetoelastic buckling and vibration of a rod carrying electric current.—J. Appl. Mech., 1975, 42, N 4, p. 809—814.
8. Love A. A treatise on the mathematical theory of elasticity.—New York: Dover, 1944.—643 p.

Ин-т механики АН АрмССР,
Ереван

Получено 01.02.84.

УДК 539.377

Ю. А. Чернуха, В. И. Косарчин

ЛОКАЛЬНЫЕ ЭФФЕКТЫ В ТЕРМОНАПРЯЖЕННОЙ ПЛАСТИНЕ С КРУГОВЫМ ВКЛЮЧЕНИЕМ

Задача о термонапряженном состоянии пластины с круговым включением рассматривалась в различных постановках [1, 3—5] и имеет важное техническое приложение [6]. Однако известные в литературе ее решения получены с использованием теорий пластин, которые не позволяют достаточно полно описать эффекты, связанные с трехмерным характером напряженного состояния в приконтактных зонах. Как следует из приводимого ниже решения, полученного на основании уточненного варианта теории пластин, указанные эффекты могут быть весьма существенными

и игнорирование их может привести к неверным заключениям о прочности содержащих включения термонапряженных элементов конструкций и приборов.

Рассмотрим бесконечную пластину, содержащую круговое включение радиуса R ; толщины пластины и включения одинаковы и равны $2h$; предполагается, что на цилиндрической поверхности $r=R$ выполняются условия идеального механического контакта, а вся внешняя поверхность рассматриваемой системы свободна от напряжений; пластина и включения нагреты до постоянных температур t^+ и t^- соответственно.

Согласно уточненному варианту теории пластин [7], определение напряженно-деформированного состояния описанной системы сводится к решению системы дифференциальных уравнений

$$\frac{d}{dr} [(1 - 2a_2) \omega - \Delta \Phi + \alpha_t t] = 0, \quad (1)$$

$$\frac{4}{45} h^4 a_2 \Delta^2 \omega - (1 - a_1) \Delta \Phi + (1 + a_1) (\omega - \alpha_t t) = 0,$$

$$a_1 = (1 - 2\nu)^{-1}, \quad a_2 = \frac{1}{2} (1 - \nu)^{-1}, \quad \alpha_t = (4a_2 - 1) \alpha_t$$

при следующих условиях сопряжения (при $r = R$):

$$\begin{aligned} G^- \left[2 \frac{d^2 \Phi^-}{dr^2} - (1 - a_1^-) (\omega^- + \Delta \Phi^-) - (1 + a_1^-) \alpha_t^- t^- \right] = \\ = G^+ \left[2 \frac{d^2 \Phi^+}{dr^2} - (1 - a_1^+) (\omega^+ + \Delta \Phi^+) - (1 + a_1^+) \alpha_t^+ t^+ \right], \end{aligned} \quad (2)$$

$$\frac{d\Phi^-}{dr} = \frac{d\Phi^+}{dr},$$

$$\begin{aligned} G^- \left[\frac{d^2 \omega^-}{dr^2} - (1 - 2a_2^-) \Delta \omega^- \right] = G^+ \left[\frac{d^2 \omega^+}{dr^2} - (1 - 2a_2^+) \Delta \omega^+ \right], \\ a_2^- G^- \frac{d}{dr} (\Delta \omega^-) = a_2^+ G^+ \frac{d}{dr} (\Delta \omega^+), \quad \frac{d\omega^-}{dr} = \frac{d\omega^+}{dr}, \end{aligned} \quad (3)$$

$$\omega^- = \omega^+$$

и граничных условиях (при $r = \infty$):

$$\frac{d^2 \Phi^+}{dr^2} - (1 - a_1^+) (\omega^+ + \Delta \Phi^+) - (1 + a_1^+) \alpha_t^+ t^+ = 0, \quad (4)$$

$$\frac{d^2 \omega^+}{dr^2} - (1 - 2a_2^+) \Delta \omega^+ = 0, \quad \frac{d}{dr} (\Delta \omega^+) = 0. \quad (5)$$

Кроме того, при $r = 0$ удовлетворяются условия осевой симметрии искомого напряженно-деформированного состояния, которые ввиду их очевидности здесь не выписываем.

Заметим, что для третьей из разрешающих функций задачи [7] в рассматриваемом случае получаем $\Psi = \text{const}$, откуда следует, что окружное перемещение u_θ и касательное напряжение $\tau_{r\theta}$ равны нулю:

$$u_\theta = \tau_{r\theta} = 0. \quad (6)$$

В соотношениях (1) — (6) обозначено: G — модуль сдвига; ν — коэффициент Пуассона; α_t — коэффициент линейного температурного расширения; Δ — оператор Лапласа; индекс «—» относит рассматриваемую величину к включению (область $r < R$), а индекс «+» — к пластине ($r > R$).

Второе из уравнений (1) содержит в качестве коэффициента при старшей производной малую величину h^4 (записанное в безразмерных координатах — малое отношение $h^4 R^{-4}$), следовательно [2], искомое решение будет содержать как слабоизменяющиеся слагаемые (решение вырожденной задачи), так и слагаемые типа погранслоя.

Решение вырожденной задачи, т. е. решение уравнений (1) при $h=0$, удовлетворяющее граничным условиям (2), (4) и условию ограни-

ченности в точке $r=0$, соответствует классической теории пластин. На основании этого решения и формул (7) работы [7], выражающих компоненты вектора перемещений и тензора напряжений через функции Φ и ω , получаем

$$\begin{aligned}\omega_c &= \alpha_t^- t^- + 2(1 - 2a_2^-) G^+ A_c, \\ u_r^{(c)} R^{-1} &= (\alpha_t^- t^- + G^+ A_c) \rho,\end{aligned}\quad (7)$$

$$\begin{aligned}\sigma_r^{(c)} &= -2(1 - 4a_2^-) G^+ G^- A_c, \quad \sigma_\theta^{(c)} = \sigma_r^{(c)} \quad (r < R), \\ \omega_c &= \alpha_t^+ t^+, \quad \sigma_\theta^{(c)} = -\sigma_r^{(c)}, \quad \sigma_r^{(c)} = -2(1 - 4a_2^-) G^+ G^- A_c \rho^{-2}, \\ u_r^{(c)} R^{-1} &= \alpha_t^+ t^+ + (1 - 4a_2^-) G^- A_c \rho^{-1} \quad (r \geq R), \\ \sigma_z^{(c)} = \tau_{rz}^{(c)} &= 0 \quad (0 \leq r \leq \infty).\end{aligned}\quad (8)$$

Здесь обозначено

$$A_c = [(1 - 4a_2^-) G^- - G^+]^{-1} (\alpha_t^- t^- - \alpha_t^+ t^+); \quad \rho = rR^{-1}.$$

Перемещение в направлении нормали к срединной поверхности пластины u_z связано с величиной ω простой зависимостью [7]

$$u_z = \omega z,$$

поэтому выражения для него здесь и в дальнейшем не приводятся. Отметим, что классическое решение, как это следует из формул (7) и (8), не удовлетворяет на поверхности контакта условию непрерывности перемещений u_z .

Составляющие решения типа погранслоя определялись по методике, изложенной в работе [2], путем введения новой переменной η , где

$$\eta = \frac{1 - \rho}{\varepsilon}, \quad \varepsilon^4 = \frac{4}{45} \frac{h^4}{R^4} \quad (10)$$

и последующего расщепления дифференциальных операторов задачи с использованием малости параметра ε . Обусловленные погранслоем нулевого порядка слагаемые перемещений и напряжений для включения и пластины имеют соответственно вид

$$\begin{aligned}\omega_0 &= 2b_1 A_0 e^{-\eta} [(1 + b_2) \cos \eta - (1 - b_2) \sin \eta], \\ u_r^{(0)} R^{-1} &= \varepsilon b_1 A_0 e^{-\eta} [2(1 - 2a_2^-) (b_2 \cos \eta - \sin \eta - b_2) + \\ &+ \sqrt{5} (1 - 3\zeta^2) (\cos \eta + b_2 \sin \eta)],\end{aligned}\quad (11)$$

$$\sigma_r^{(0)} = 4 \sqrt{5} b_1 A_0 a_2^- G^- (1 - 3\zeta^2) e^{-\eta} [(1 + b_2) \sin \eta + (1 - b_2) \cos \eta],$$

$$\begin{aligned}\sigma_\theta^{(0)} &= 4b_1 A_0 (1 - 2a_2^-) G^- e^{-\eta} \left\{ (1 - b_2) \sin \eta - (1 + b_2) \cos \eta - \right. \\ &\left. - \frac{\sqrt{5}}{2} (1 - 3\zeta^2) [(1 + b_2) \sin \eta + (1 - b_2) \cos \eta] \right\},\end{aligned}$$

$$\sigma_z^{(0)} = 15b_1 A_0 a_2^- G^- (1 - \zeta^2)^2 e^{-\eta} [(1 + b_2) \cos \eta - (1 - b_2) \sin \eta],$$

$$\tau_{rz}^{(0)} = \frac{20 \sqrt{6}}{4 \sqrt{5}} b_1 A_0 a_2^- G^- \zeta (1 - \zeta^2) e^{-\eta} (b_2 \cos \eta - \sin \eta) \quad (r \leq R),$$

$$\omega^{(0)} = 2A_0 e^\eta [(1 - b_2) \sin \eta + (1 - 3b_2) \cos \eta],$$

$$\begin{aligned}u_r^{(0)} R^{-1} &= \varepsilon \{ B_0 + A_0 e^\eta [2(1 - 2a_2^+) (b_2 \cos \eta + b_1 \sin \eta) + \\ &+ \sqrt{5} (1 - 3\zeta^2) (b_1 \cos \eta - b_2 \sin \eta)] \},\end{aligned}$$

$$\sigma_r^{(0)} = 4 \sqrt{5} A_0 a_2^+ G^+ (1 - 3\zeta^2) e^\eta [(1 - b_2) \cos \eta - (1 - 3b_2) \sin \eta],$$

$$\begin{aligned}\sigma_\theta^{(0)} &= 2A_0 (1 - 2a_2^+) G^+ e^\eta \{ (1 + 3b_1) \cos \eta - (1 - b_1) \sin \eta + \\ &+ \sqrt{5} (1 - 3\zeta^2) [(1 - 3b_2) \sin \eta - (1 - b_2) \cos \eta] \},\end{aligned}\quad (12)$$

$$\sigma_z^{(0)} = 15A_0 a_2^+ G^+ (1 - \zeta^2)^2 e^\eta [(1 - b_2) \sin \eta + (1 - 3b_2) \cos \eta],$$

$$\tau_{rz}^{(0)} = \frac{20\sqrt{6}}{\sqrt[4]{5}} A_0 a_2^+ G^+ \zeta (1 - 3\zeta^2) e^\eta (b_2 \cos \eta + b_1 \sin \eta) \quad (r \geq R),$$

где

$$\begin{aligned} \zeta &= h^{-1} z; \quad A_0 = (1 + 6b_1 + b_1^2)^{-1} (\omega_c^+ - \omega_c^-); \\ B_0 &= 2[(1 - 2a_2^-) b_1 - (1 - 2a_2^+) b_2] A_0; \quad b_1 = (a_2^- G^-)^{-1} a_2^+ G^+; \\ &2b_2 = 1 + b_1. \end{aligned}$$

Для слагаемых, обусловленных погранслоем первого порядка, получены следующие выражения:

$$\begin{aligned} \omega^{(1)} &= \varepsilon \left[e^{-\eta} (A_1 \cos \eta + A_3 \sin \eta) + \frac{1}{2} \eta \omega_0 \right], \\ \sigma_r^{(1)} &= \frac{1}{2} \varepsilon \eta \sigma_r^{(0)} + 2\varepsilon G^- e^{-\eta} \{ 2b_1 (1 - 2a_2^-) (\sin \eta - b_2 \cos \eta) A_0 + \\ &+ \sqrt{5} (1 - 3\zeta^2) [a_2^- (A_1 \sin \eta - A_3 \cos \eta) - b_1 A_0 (\cos \eta + b_2 \sin \eta)] \}, \\ \sigma_\theta^{(1)} &= \frac{1}{2} \varepsilon \eta \sigma_\theta^{(0)} - 2\varepsilon G^- e^{-\eta} \{ (1 - 2a_2^-) [2b_1 A_0 (\sin \eta - b_2 \cos \eta) + \\ &+ A_1 \cos \eta + A_3 \sin \eta] + \frac{\sqrt{5}}{2} (1 - 3\zeta^2) [(1 - 2a_2^-) (A_1 \sin \eta - A_3 \cos \eta) - \\ &- 2b_1 A_0 (\cos \eta + b_2 \sin \eta)] \}, \end{aligned} \quad (13)$$

$$\begin{aligned} \sigma_z^{(1)} &= \frac{1}{2} \varepsilon [\eta \sigma_z^{(0)} + 15a_2^- G^- (1 - \zeta^2)^2 e^{-\eta} (A_1 \cos \eta + A_3 \sin \eta)], \\ \tau_{rz}^{(1)} &= \frac{5\sqrt{6}}{\sqrt[4]{5}} \varepsilon a_2^- G^- \zeta (1 - \zeta^2) e^{-\eta} \{ [A_1 + A_3 + (1 - b_2) b_1 A_0] \cos \eta + \\ &+ [A_3 - A_1 + (1 + b_2) b_1 A_0] \sin \eta \} + \frac{1}{2} \varepsilon \eta \tau_{rz}^{(0)} \quad (r \leq R), \\ \omega_1 &= \varepsilon [e^\eta (A_1 \cos \eta + A_2 \sin \eta) + \frac{1}{2} \eta \omega_0], \\ \sigma_r^{(1)} &= \frac{1}{2} \varepsilon (\eta \sigma_r^{(0)} - 4G^+ B_0) - 2\varepsilon G^+ e^\eta \{ 2A_0 (1 - 2a_2^+) (b_2 \cos \eta + \\ &+ b_1 \sin \eta) + \sqrt{5} (1 - 3\zeta^2) [A_0 (b_1 \cos \eta - b_2 \sin \eta) + \\ &+ a_2^+ (A_1 \sin \eta - A_2 \cos \eta)] \}, \end{aligned} \quad (14)$$

$$\begin{aligned} \sigma_\theta^{(1)} &= \frac{1}{2} \varepsilon (\eta \sigma_\theta^{(0)} + 4G^+ B_0) - 2\varepsilon G^+ e^\eta \{ (1 - 2a_2^+) [A_1 \cos \eta + \\ &+ A_2 \sin \eta - 2A_0 (b_1 \sin \eta + b_2 \cos \eta)] + \frac{\sqrt{5}}{2} (1 - 3\zeta^2) \times \\ &\times [(1 - 2a_2^+) (A_2 \cos \eta - A_1 \sin \eta) + 2A_0 (b_2 \sin \eta - b_1 \cos \eta)] \}, \\ \sigma_z^{(1)} &= \frac{1}{2} \varepsilon \eta \sigma_z^{(0)} + 15a_2^+ G^+ (1 - \zeta^2)^2 e^\eta (A_1 \cos \eta + A_2 \sin \eta), \\ \tau_{rz}^{(1)} &= \frac{5\sqrt{6}}{\sqrt[4]{5}} \varepsilon a_2^+ G^+ \zeta (1 - \zeta^2) e^\eta \{ [A_2 - A_1 + (1 - b_2) A_0] \cos \eta - \\ &- [A_1 + A_2 + (1 - 3b_2) A_0] \sin \eta \} + \frac{1}{2} \varepsilon \eta \tau_{rz}^{(0)} \quad (r \geq R). \end{aligned}$$

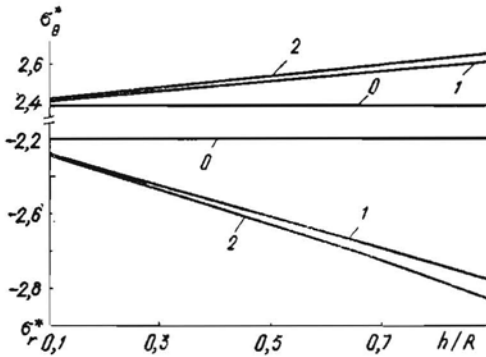
В соотношениях (13) и (14) обозначено

$$\begin{aligned} A_1 &= \frac{1}{4} b_1 b_2^{-2} \left[\frac{1}{2} (\omega_c^+ - \omega_c^-) - \left(\frac{b_1}{a_2^+} - \frac{1}{a_2^-} \right) (1 - b_1) A_0 \right]; \\ A_2 &= \frac{1}{4} b_2^{-2} \left[\frac{1}{2} (\omega_c^+ - \omega_c^-) + \left(\frac{b_1}{a_2^+} - \frac{1}{a_2^-} \right) (3 + b_1) b_1 A_0 \right]; \end{aligned}$$

$$A_3 = \frac{1}{4} b_1 b_2^{-2} \left[\left(\frac{b_1}{a_2^+} - \frac{1}{a_2^-} \right) (1 + 3b_1) A_0 - \frac{1}{2} b_1 (\omega_c^+ - \omega_c^-) \right].$$

Формулы (6)–(14) определяют напряженно-деформированное состояние рассматриваемой системы с точностью до погранслоя первого порядка (выражения, полученные с учетом погранслоя второго порядка, из-за ограниченности объема статьи не приведены). Причем сумма соответствующих выражений (7), (9), (11) и (13) дает перемещения и напряжения во включении, а выражений (8), (9), (12) и (14) — в пластине.

Приводимый рисунок иллюстрирует зависимость от отношения h/R контактных значений ($r=R$) радиального σ_r и окружного σ_θ напряжений у внешних поверхностей пластины ($z = \pm h$), вычисленных для случая жесткого включения ($G^- = \infty$, $\alpha^- = 0$) в различных приближениях; цифры



указывают порядок погранслоя, с учетом которого вычислена соответствующая величина; по оси ординат откладывались σ_r и σ_θ — отношения радиального и окружного напряжения к их значениям, определенным по классической теории пластин. Как видно из рисунка, в случае пластинчатых включений ($h/R \approx 0,1$) можно ограничиваться погранслоем нулевого порядка; для включений меньшего диаметра необходимо учитывать погранслоя первого порядка.

Отметим следующие три частных случая полученного решения: 1) равномерно нагретая пластина с круговым инородным включением (при $t^- = t^+$); 2) равномерно нагретая пластина, жестко заземленная по внутренней цилиндрической поверхности $r = R$ (при $G^- = \infty$, $\alpha^- = 0$); 3) однородная пластина, температура которой кусочно-постоянная (при $G^- = G^+$, $\nu^- = \nu^+$, $\alpha^- = \alpha^+$). В каждом из этих случаев в зоне возмущения (приконтактная зона, зона у заземленного края, область резкого изменения температуры) напряженное состояние имеет ярко выраженный объемный характер — отличны от нуля все компоненты тензора напряжений, кроме $\tau_{r\theta}$ (которое равно нулю вследствие осевой симметрии задачи). Причем напряжения в этой зоне могут в несколько раз превышать (по модулю) значения, определяемые классической теорией пластин, а некоторые из них (например, σ_r , см. рисунок) по отношению к классическим меняют знак на внешних поверхностях пластины; последнее обстоятельство важно при оценке прочности стеклянных пластин [6], которые чувствительны к растягивающим напряжениям и разрушение которых обычно начинается с поверхности.

1. Брюханова Е. Н. Температурные напряжения в круглой пластинке с жестким круговым ядром. — Изв. вузов. Машиностроение, 1972, № 2, с. 5–8.
2. Вишик М. И., Люстерник Л. А. Регулярное вырождение и пограничный слой для линейных дифференциальных уравнений с малым параметром. — Успехи мат. наук, 1957, 12, № 5, с. 3–122.
3. Заболотный В. П. Температурные поля и напряжения в тонкой изгибаемой пластинке с круговым включением. — В кн.: Качество, прочность, надежность и технологичность электровакуумных приборов. Киев: Наук. думка, 1976, с. 132–134.
4. Зашильняк И. М. Влияние тепловыделяющих включений на напряженное состояние диска. — В кн.: Математические методы в термомеханике. Киев: Наук. думка, 1978, с. 152–160.
5. Кулик А. Н., Приходская Е. И. Температурные напряжения в пластине с инородным тепловыделяющим элементом. — В кн.: Обобщенные функции в термодинамике. Киев: Наук. думка, 1980, с. 58–64.

6. Подстригач Я. С., Коляно Ю. М., Семерак М. М. Температурные поля и напряжения в элементах электровакуумных приборов. — Киев: Наук. думка, 1981.—342 с.
7. Чернуха Ю. А. О задаче термоупругости для тонких пластин. — Мат. методы и физ.-мех. поля, 1985, вып. 21, с. 37—41.

Ин-т прикладных проблем механики
и математики АН УССР, Львов

Получено 15.02.84

УДК 536.12 : 539.377

В. М. Вигак

НОВАЯ ФОРМА УРАВНЕНИЙ ТЕРМОУПРУГОСТИ ДЛЯ ОДНОМЕРНОГО ТЕМПЕРАТУРНОГО ПОЛЯ

При оптимизации управления термонапряженным состоянием упругого тела с помощью внутренних источников тепла возникает потребность иметь непосредственные соотношения между заданными требуемыми термонапряжениями и функцией распределения внутренних источников тепла. В настоящей работе приведены основные соотношения между одномерным нестационарным температурным полем, функцией распределения внутренних источников тепла, квазистатическими упругими термонапряжениями и другими величинами, в том числе дифференциальное уравнение второго порядка параболического типа, граничные и начальные условия, которым должна удовлетворять основная составляющая термонапряженного состояния неограниченной пластины, полых цилиндра и шара.

Известно [2, 3], что в случае одномерной нестационарной задачи теплопроводности и конвективном теплообмене на границе тела (пластины, полых цилиндра и шара) температурное поле $T(x, \tau)$ удовлетворяет следующей краевой задаче:

$$\Delta T(x, \tau) + u(x, \tau) = \frac{\partial T(x, \tau)}{\partial \tau}, \quad x \in (k, 1), \quad \tau \in (0, \infty), \quad (1)$$

$$\frac{\partial T(1, \tau)}{\partial x} + H_1 [T(1, \tau) - t_1(\tau)] = 0, \quad \tau \in (0, \infty), \quad (2)$$

$$\frac{\partial T(k, \tau)}{\partial x} - H_2 [T(k, \tau) - t_2(\tau)] = 0, \quad \tau \in (0, \infty),$$

$$T(x, 0) = f(x), \quad x \in [k, 1], \quad (3)$$

где $\Delta = \frac{\partial^2}{\partial x^2} + \frac{j}{x} \frac{\partial}{\partial x}$; $j = 0, 1, 2$ — соответственно для пластины, цилиндра и шара; $k = 0$ — для пластины и $k \in [0, 1]$ — для цилиндра и шара; H_i ($i = 1, 2$) — безразмерные коэффициенты теплообмена; $u(x, \tau)$ — функция распределения внутренних источников тепла; $t_i(\tau)$ ($i = 1, 2$) — температуры окружающих сред; $f(x)$ — начальное распределение температурного поля.

Из термоупругости [1, 2, 4] известны также соотношения между квазистатическими относительными температурными напряжениями и одномерным температурным полем тела:

$$\sigma_y(x, \tau) = \sigma_z(x, \tau) = \sigma(x, \tau) = \int_0^1 T(x, \tau) dx - T(x, \tau) \quad (4)$$

— для закрепленной по краям от углового поворота пластины;

$$\sigma_x(x, \tau) = \sigma(x, \tau) = \frac{2}{1-k^2} \int_k^1 xT(x, \tau) dx - T(x, \tau),$$

$$\sigma_0(x, \tau) = \frac{x^2 + k^2}{(1-k^2)x^2} \int_k^1 xT(x, \tau) dx + \frac{1}{x^2} \int_k^x xT(x, \tau) dx - T(x, \tau), \quad (5)$$